



bigtest

# Obsah

1	Test	4
2	Document 1	5
3	Apendix 2 - Mapy a grafy	6

# 1 Test

Thus, I came to the conclusion that the designer of a new system must not only be the implementer and first large-scale user; the designer should also write the first user manual.

The separation of any of these four components would have hurt T<sub>E</sub>X significantly. If I had not participated fully in all these activities, literally hundreds of improvements would never have been made, because I would never have thought of them or perceived why they were important.

But a system cannot be successful if it is too strongly influenced by a single person. Once the initial design is complete and fairly robust, the real test begins as people with many different viewpoints undertake their own experiments.

Crossref 1: [Document 1](#)

Crossref 2: [Apendix 2 - Mapy a grafy](#)

Crossref 3: ?? [3.1 Rozmístění nálezových míst veřejných nápisů a jejich . . . 3.33](#)

## 2 Document 1

Thus, I came to the conclusion that the designer of a new system must not only be the implementer and first large-scale user; the designer should also write the first user manual.

The separation of any of these four components would have hurt T<sub>E</sub>X significantly. If I had not participated fully in all these activities, literally hundreds of improvements would never have been made, because I would never have thought of them or perceived why they were important.

But a system cannot be successful if it is too strongly influenced by a single person. Once the initial design is complete and fairly robust, the real test begins as people with many different viewpoints undertake their own experiments.

A small square box with a thin black border, containing the word "Cow" in a serif font.

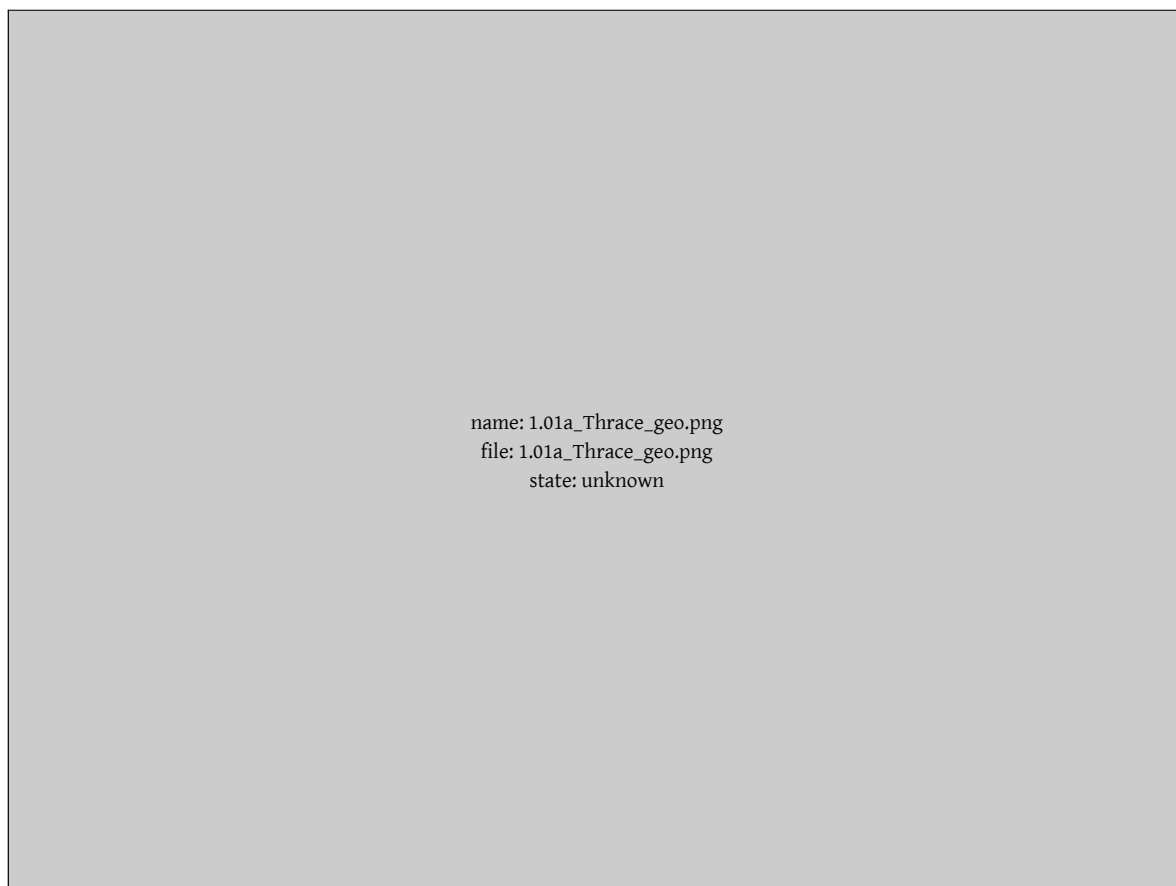
Obrázek 2.1 Cow

### 3 Appendix 2 - Mapy a grafy

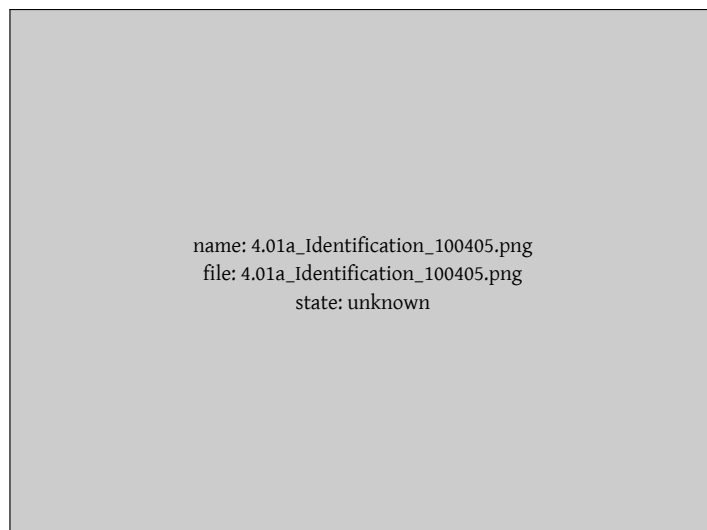
Thus, I came to the conclusion that the designer of a new system must not only be the implementer and first large-scale user; the designer should also write the first user manual.

The separation of any of these four components would have hurt T<sub>E</sub>X significantly. If I had not participated fully in all these activities, literally hundreds of improvements would never have been made, because I would never have thought of them or perceived why they were important.

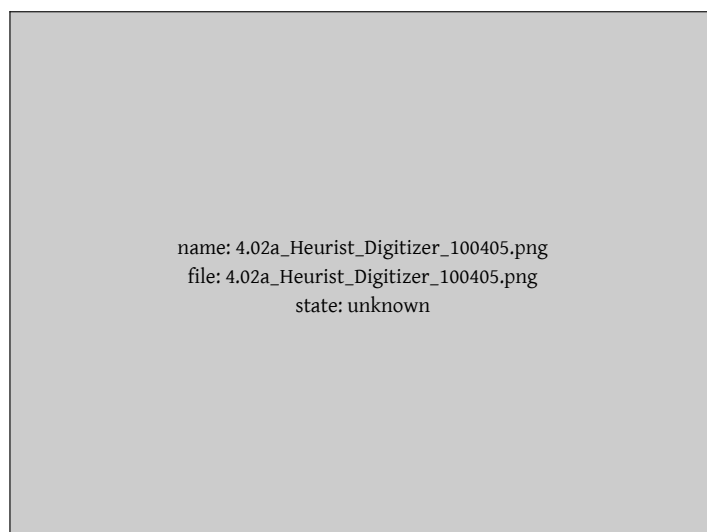
But a system cannot be successful if it is too strongly influenced by a single person. Once the initial design is complete and fairly robust, the real test begins as people with many different viewpoints undertake their own experiments.



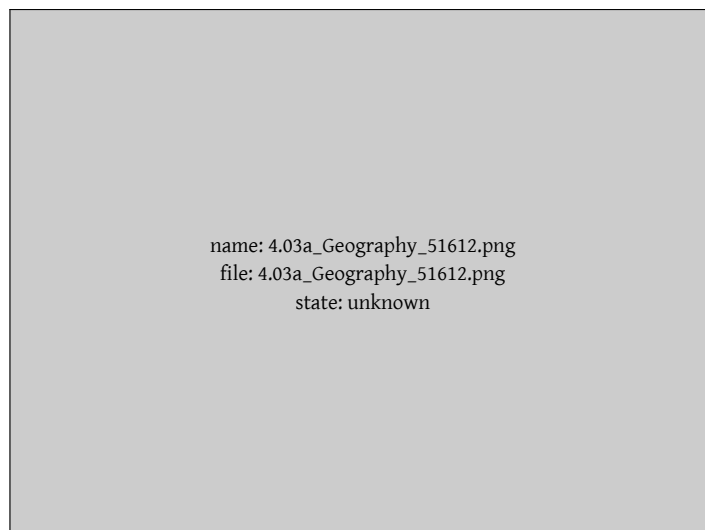
Obrázek 3.1 Přibližné území antické Thrákie, geografický reliéf, nejvýznamnější řeky a antická města.



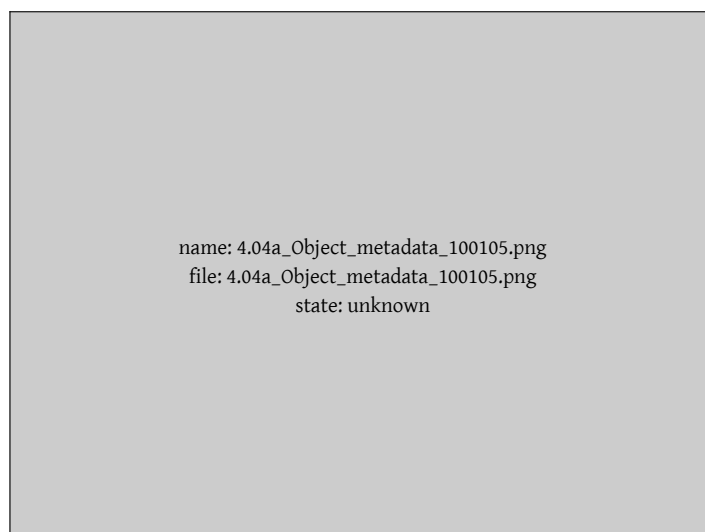
Obrázek 3.2 Ukázka identifikačních záznamů v databázi Hellenization of Ancient Thrace, vytvořené v softwaru Heurist Scholar. Nápis SEG 49:992 = 100405.



Obrázek 3.3 Ukázka geografického záznamu v Heurist Digitizer, nápis SEG 49:992 = 100405.

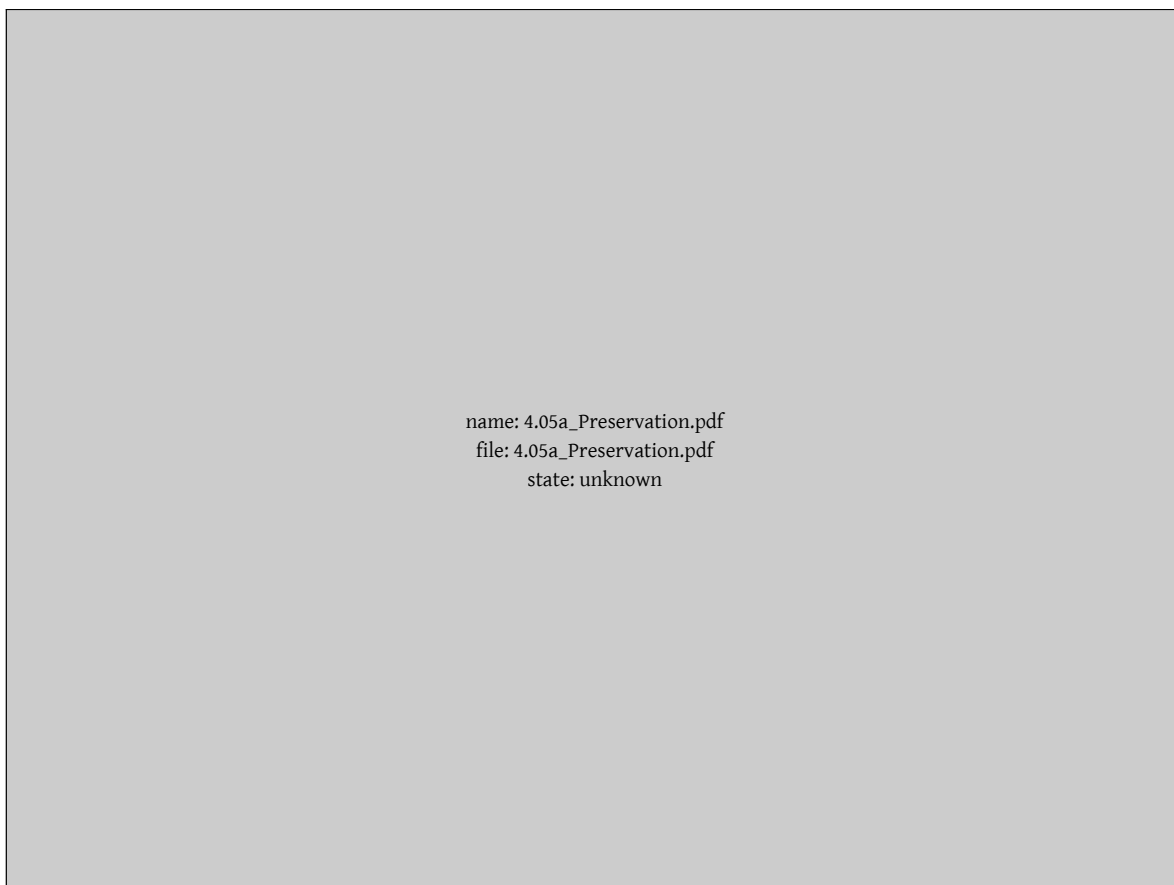


Obrázek 3.4 Ukázka záznamu geografických dat v databázi Hellenization of Ancient Thrace, vytvořené v softwaru Heurist Scholar. Nápis IG Bulg 3,2 1612 = 51612.

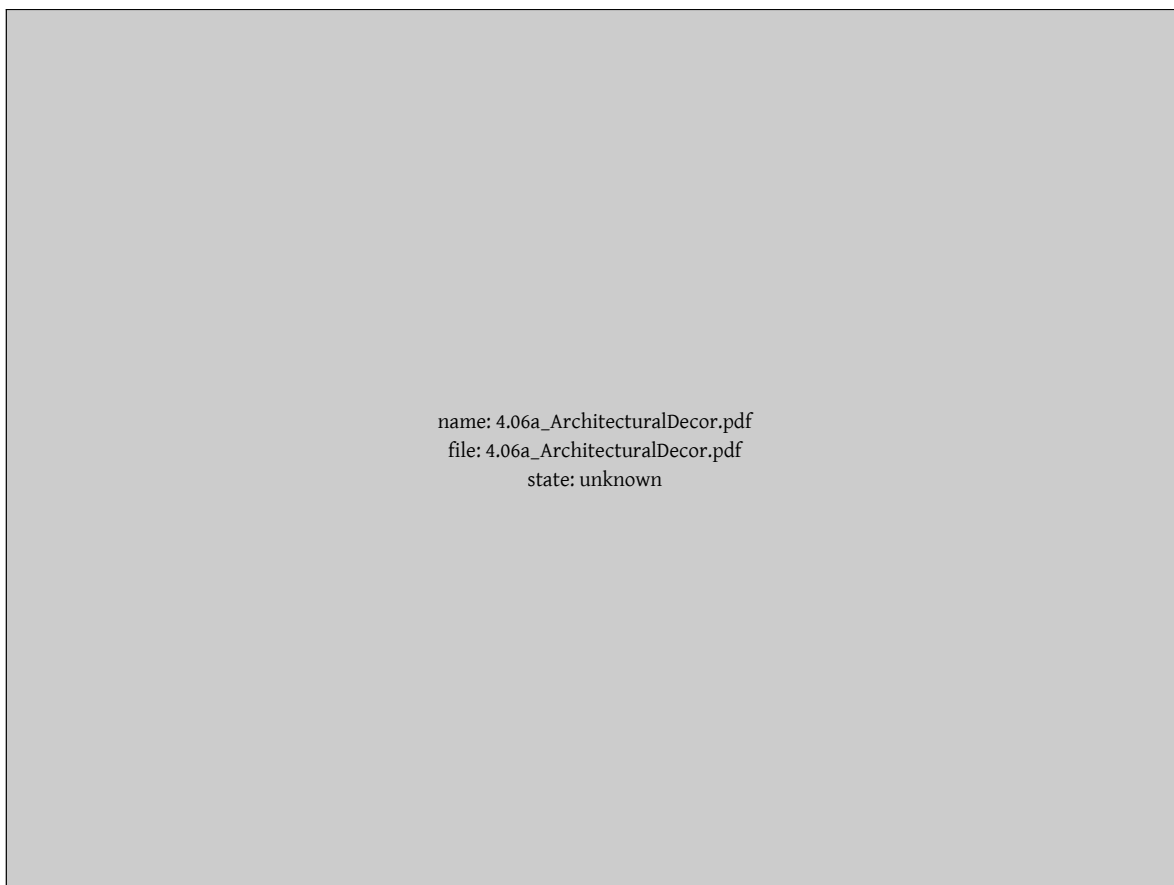


Obrázek 3.5 Ukázka záznamu dat o nosiči nápisu v databázi Hellenization of Ancient Thrace, vytvořené v softwaru Heurist Scholar. Nápis Gyuzelev 2002 3 = 100105.

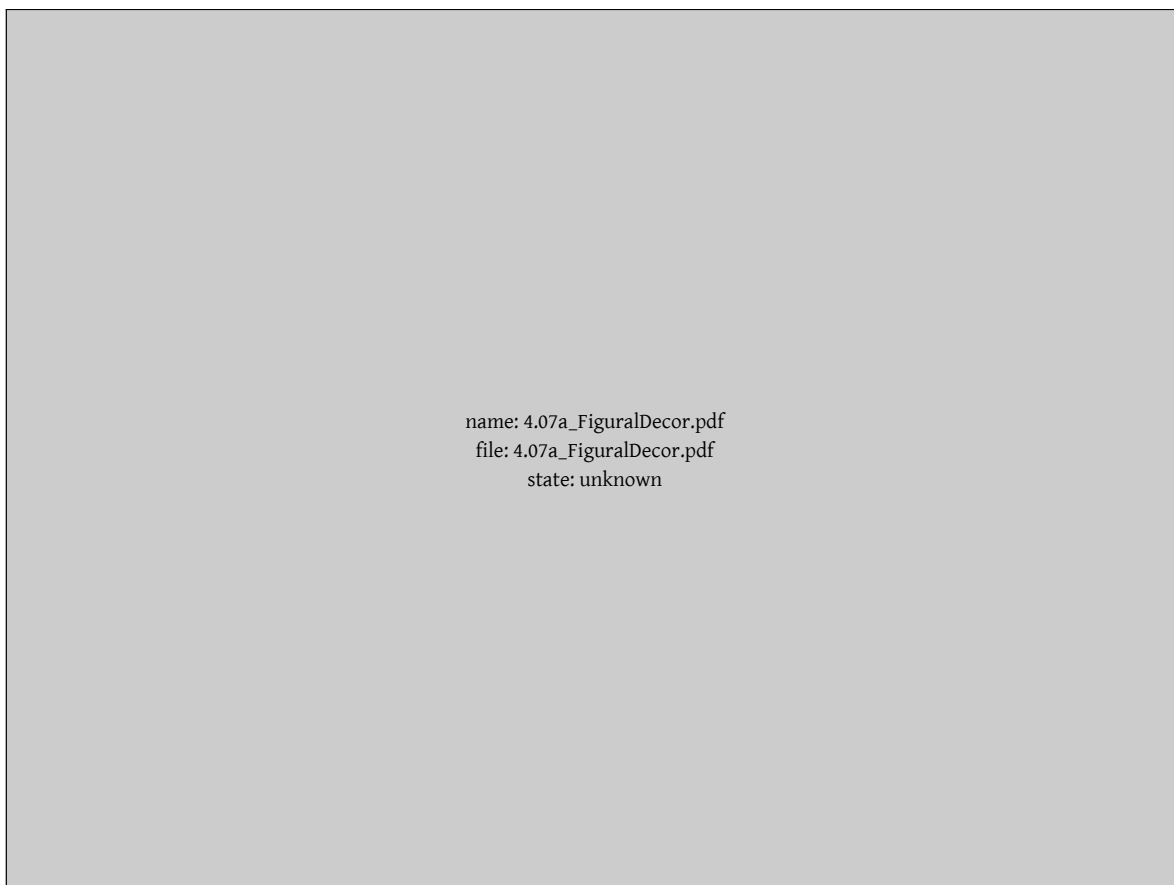




Obrázek 3.6 Dochování nosiče nápisu spolu s ilustrativními příklady jednotlivých kategorií.



Obrázek 3.7 Architektonická dekorace nosičů nápisů spolu s ilustrativními příklady jednotlivých kategorií.




Obrázek 3.8 Figurální dekorace nosičů nápisů spolu s ilustrativními příklady jednotlivých kategorií.



Obrázek 3.9 Poměrné zastoupení délky intervalů datací všech 2276 datovaných nápisů.



Obrázek 3.10 Poměr datovaných nápisů v jednotlivých stoletích s přihlédnutím k šíři jejich datace (vyjádřenou pomocí jejich koeficientů 1 - 0,12), celkem 2276 nápisů.

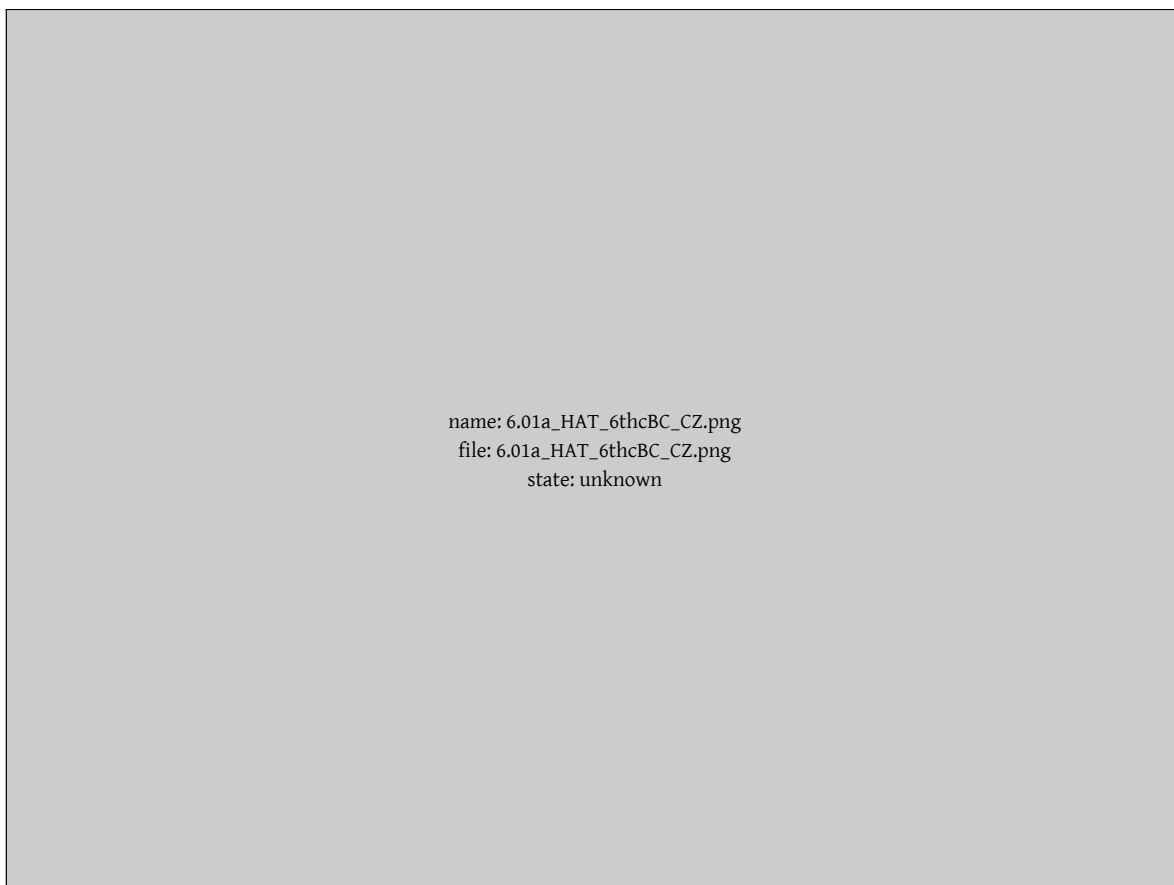


name: 4.10a\_MethodDating.png  
file: 4.10a\_MethodDating.png  
state: unknown

Obrázek 3.11 Celková epigrafická produkce v závislosti na použití metody datace nápisů. Srovnání normalizované metody datace spolu s nenormalizovanou metodou datace nápisů.



Obrázek 3.12 Mapa rozmístění nálezových míst nápisů obsažených v databázi *Hellenization of Ancient Thrace*. Oranžová barva ohraničuje oblast pokrývající území, z něž pocházejí nápisy. Bílá místa vyznačují oblast, z níž nejsou dostupná epigrafická data.



Obrázek 3.13 Mapa nálezových míst nápisů datovaných do 6. a do 6. až 5. st. př. n. l.

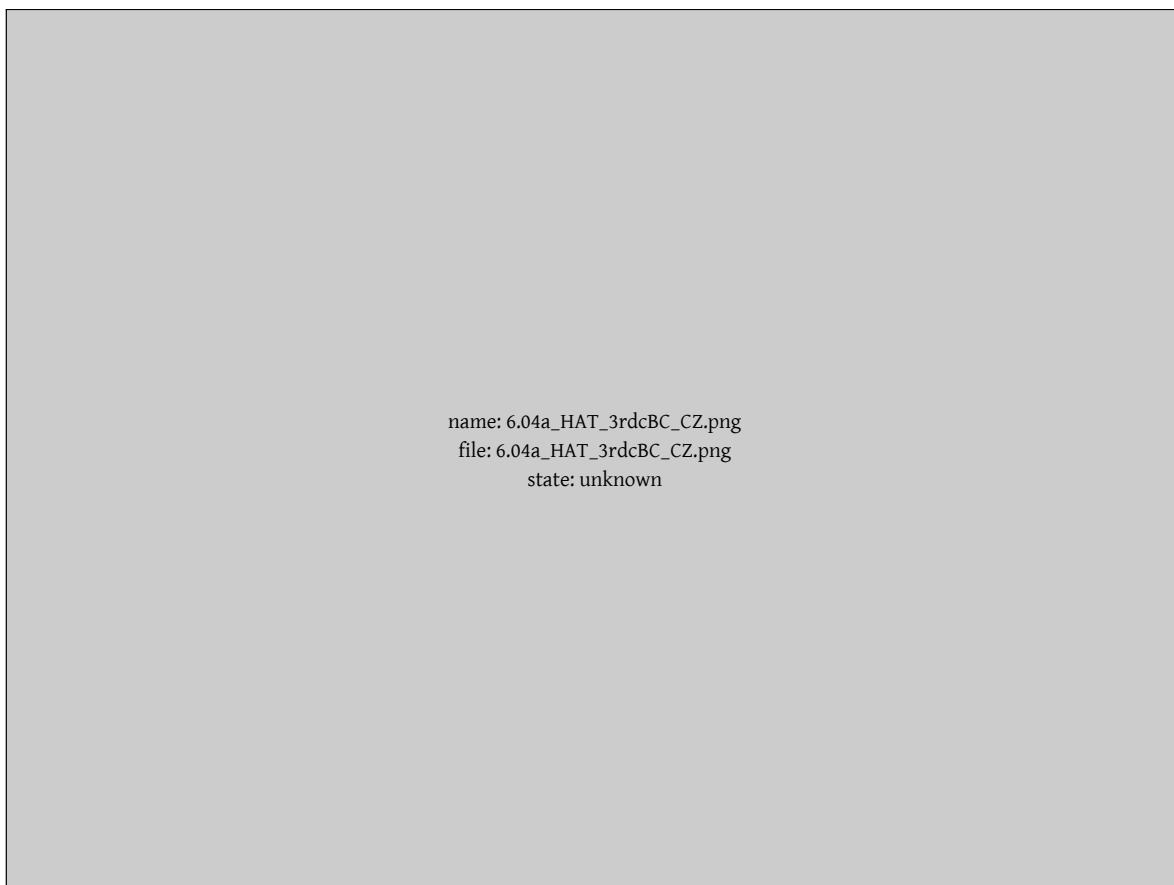




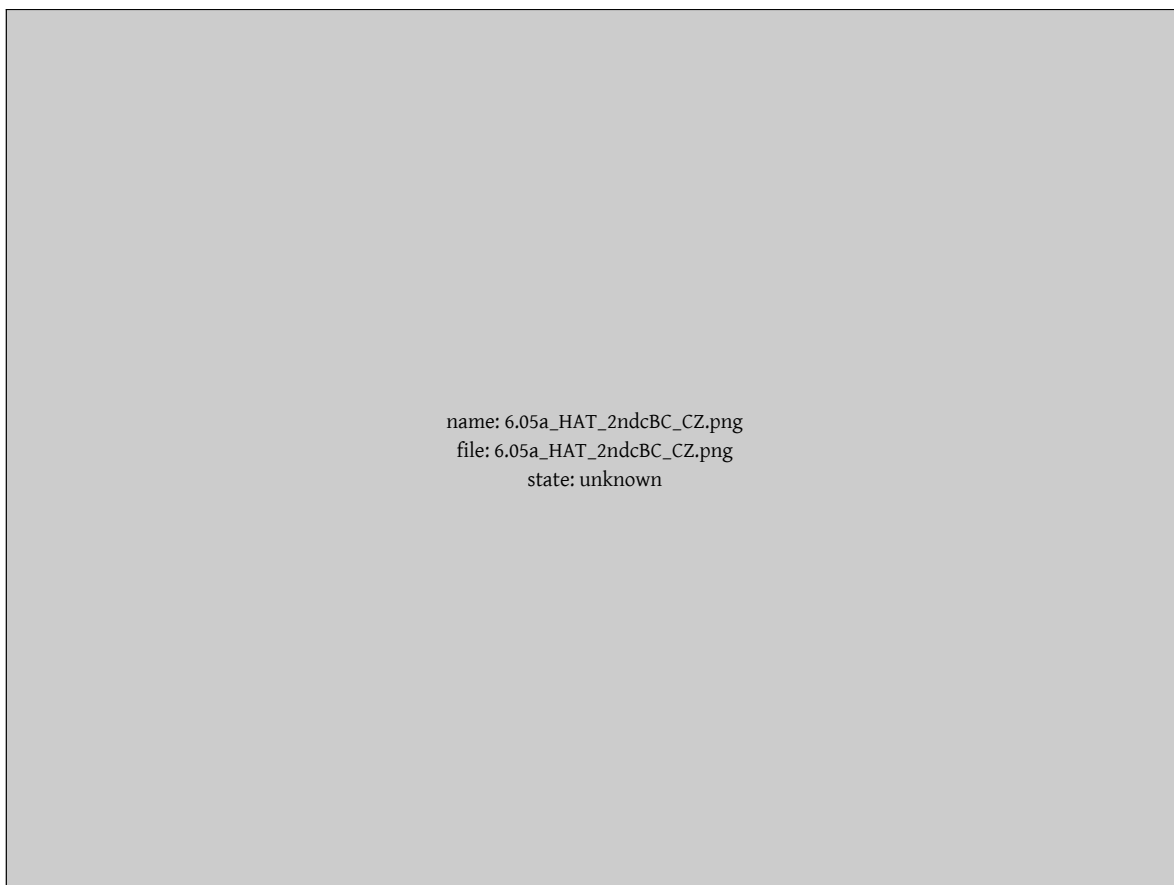
Obrázek 3.14 Mapa nálezových míst nápisů datovaných do 5. a do 5. až 4. st. př. n. l.



Obrázek 3.15 Mapa nálezových míst nápisů datovaných do 4. a do 4. až 3. st. př. n. l.



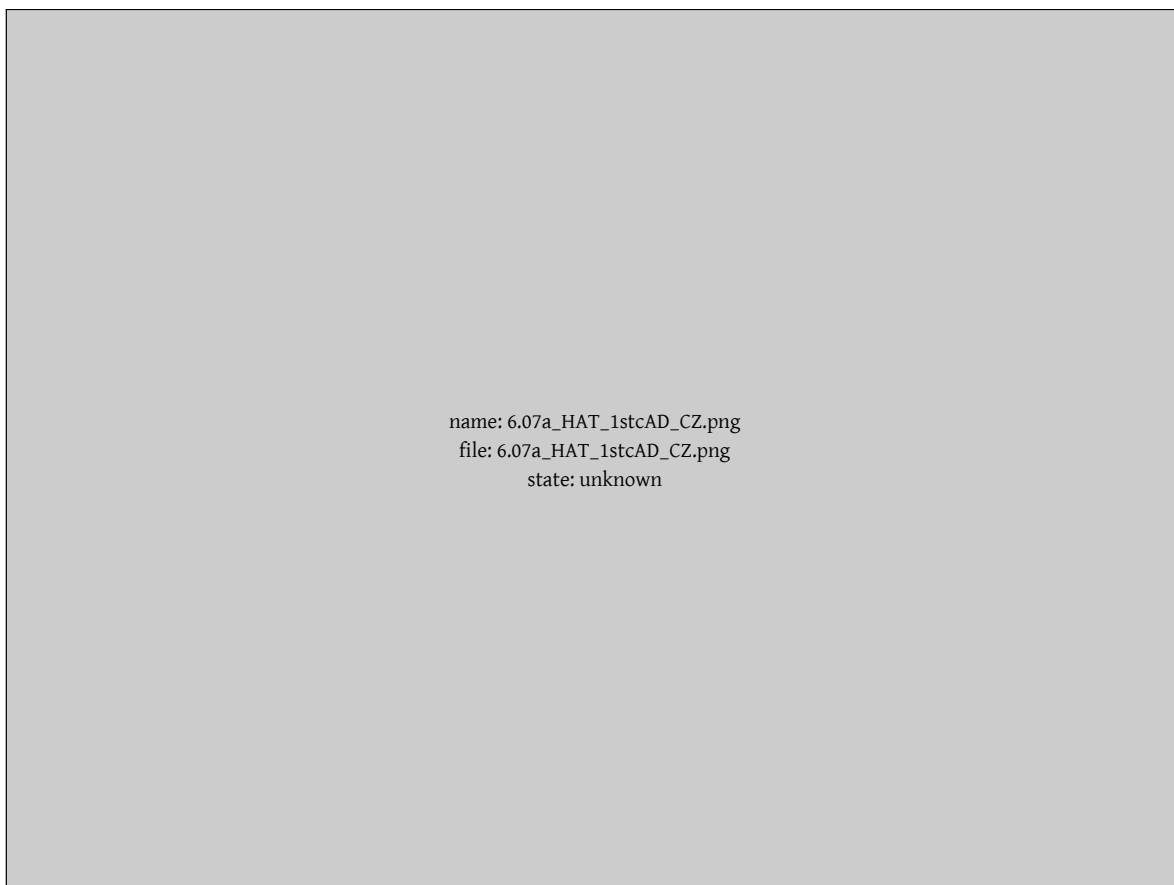
Obrázek 3.16 Mapa nálezových míst nápisů datovaných do 3. a do 3. až 2. st. př. n. l.



Obrázek 3.17 Mapa nálezových míst nápisů datovaných do 2. a do 2. až 1. st. př. n. l.



Obrázek 3.18 Mapa nálezových míst nápisů datovaných do 1. a do 1. st. př. n. l. až 1. st. n. l.



Obrázek 3.19 Mapa nálezových míst nápisů datovaných do 1. st. n. l. a do 1. až 2. st. n. l.

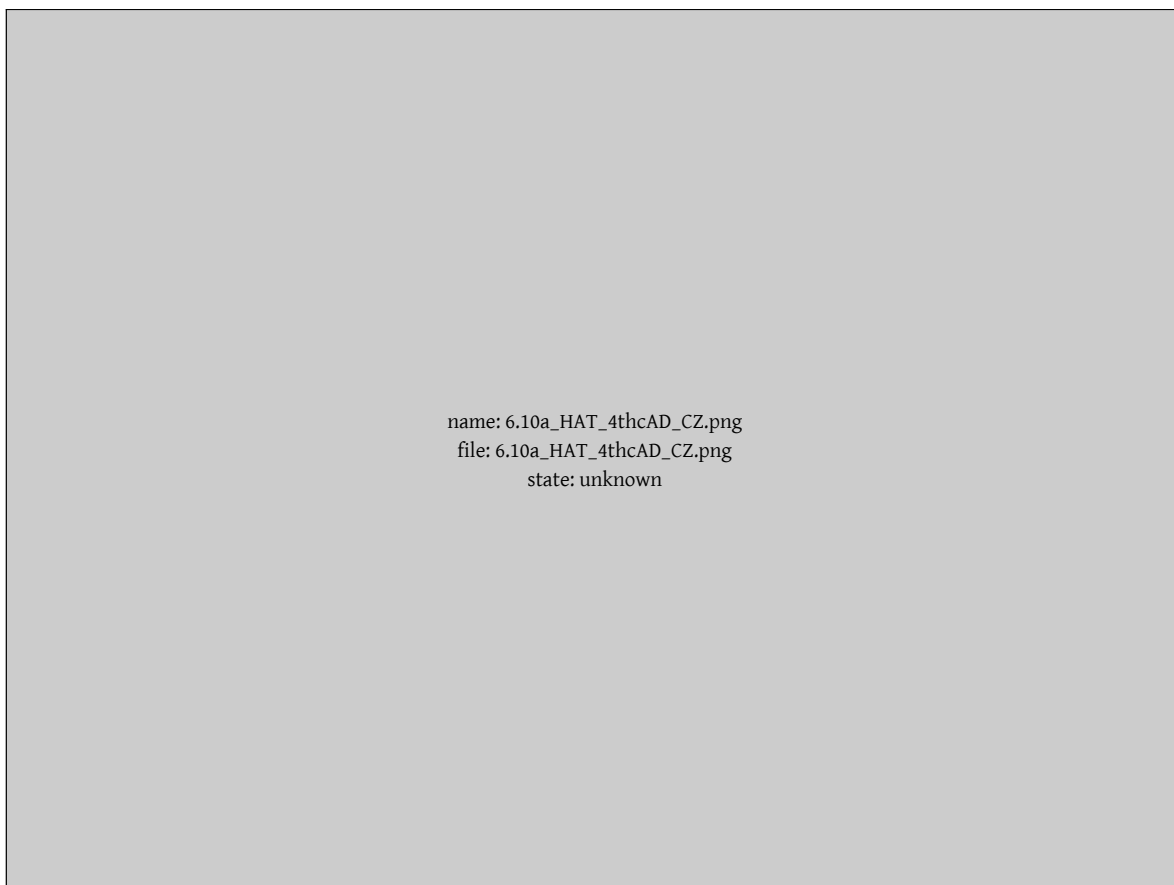


Obrázek 3.20 Mapa nálezových míst nápisů datovaných do 2. st. n. l. a do 2. až 3. st. n. l.



Obrázek 3.21 Mapa nálezových míst nápisů datovaných do 3. st. n. l. a do 3. až 4. st. n. l.






Obrázek 3.22 Mapa nálezových míst nápisů datovaných do 4. st. n. l. a do 4. až 5. st. n. l.

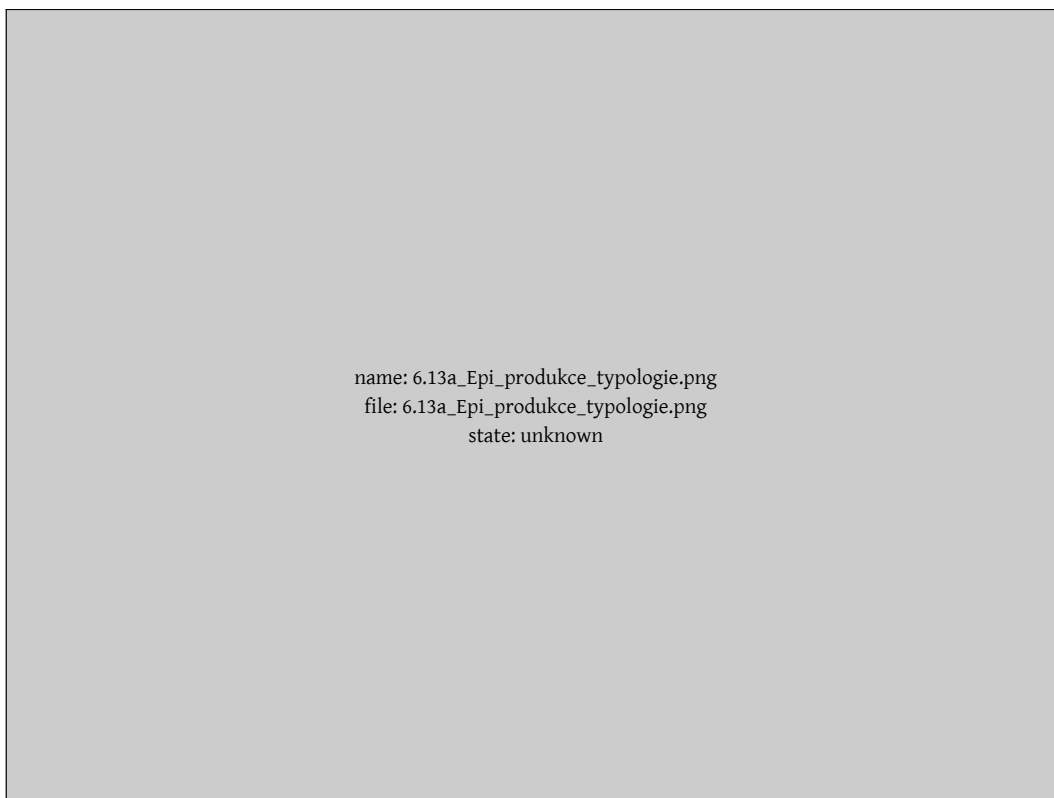


Obrázek 3.23 Mapa nálezových míst nápisů datovaných do 5. st. n. l. a do 5. až 8. st. n. l.

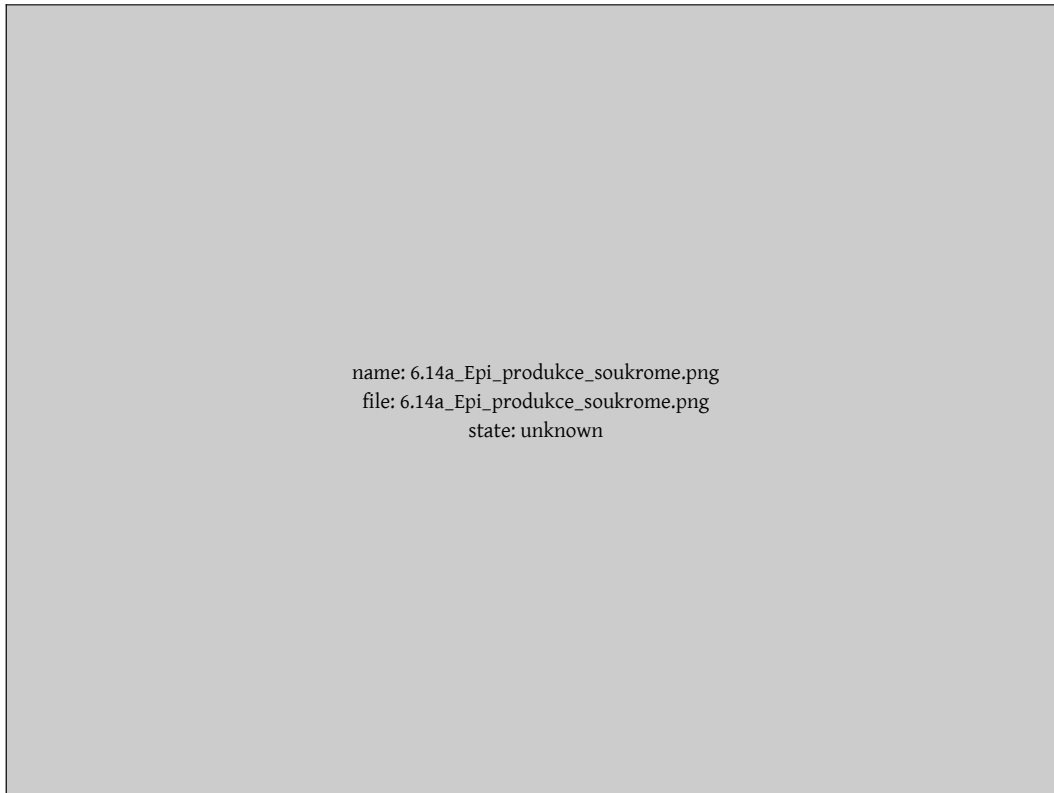


name: 6.12a\_Prehled\_produkce\_stoleti\_koeficienty.png  
file: 6.12a\_Prehled\_produkce\_stoleti\_koeficienty.png  
state: unknown

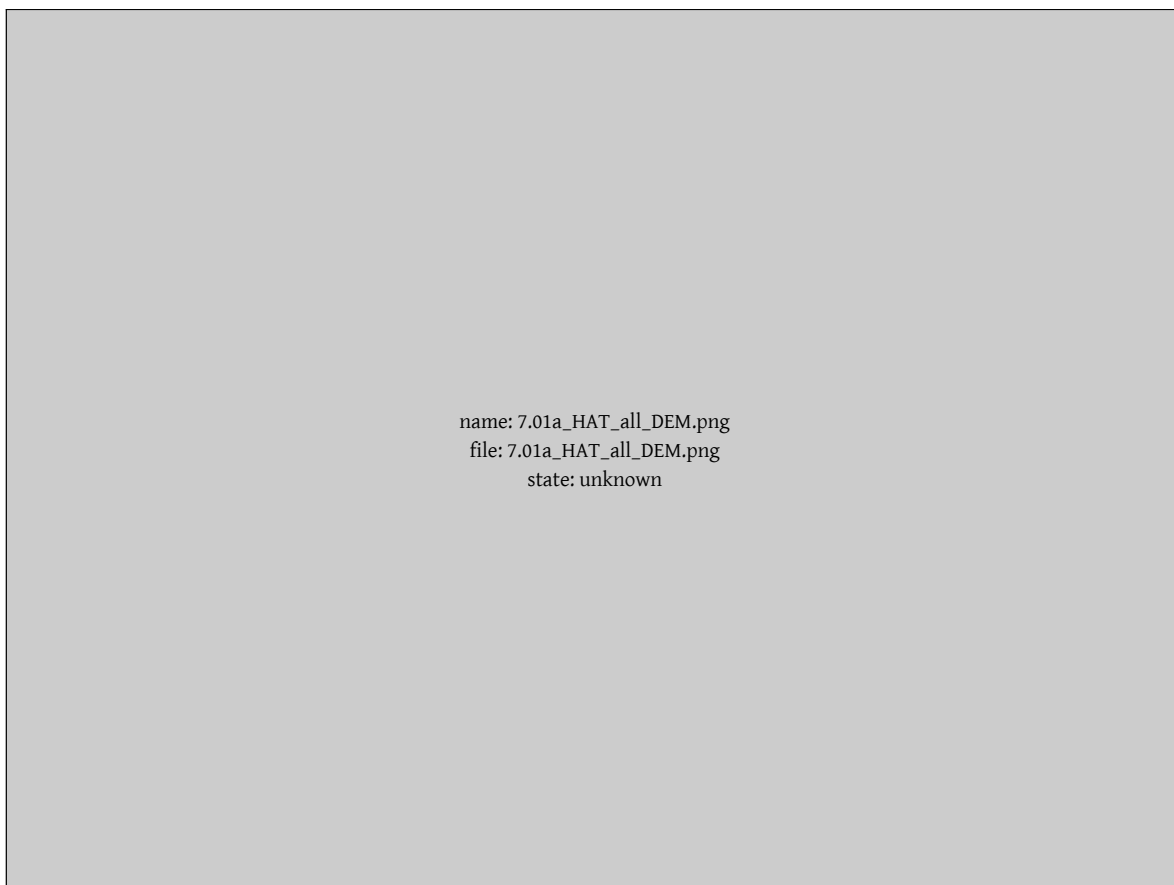
Obrázek 3.24 Přehled epigrafické produkce v jednotlivých stoletích dle šíře datace nápisů (nápis datované do jednoho vs. dvou století).



Obrázek 3.25 Srovnání epigrafické produkce v jednotlivých stoletích v závislosti na typologii nápisu.



Obrázek 3.26 Srovnání epigrafické produkce soukromých nápisů v jednotlivých stoletích v závislosti na šíři datace.



Obrázek 3.27 Rozmístění nálezových míst nápisů v závislosti na jejich nadmořské výšce (DEM - digital elevation model).



Obrázek 3.28 Rozmístění nálezových míst všech nápisů a jejich vzdálenost od městských center (do 20 km, do 40 km od daného centra).



Obrázek 3.29 Rozmístění nálezových míst všech nápisů a jejich vzdálenost od římských cest - silnic (do 10 km od dané silnice).




Obrázek 3.30 Hustota výskytu nálezových míst nápisů a jejich relativní poloha vůči městským centrům a římským cestám - silnicím.





Obrázek 3.31 Mapa hlavních produkčních center nápisů dle celkového počtu nalezených nápisů v okruhu do 20 km od daného produkčního centra městského typu.



name: 7.06a\_NonUrban\_Productioncenters\_5kmbuffer\_scale.png  
file: 7.06a\_NonUrban\_Productioncenters\_5kmbuffer\_scale.png  
state: unknown

Obrázek 3.32 Mapa hlavních produkčních center nápisů dle celkového počtu nalezených nápisů v okruhu do 20 km od daného produkčního centra jiného než městského typu.



Obrázek 3.33 Rozmístění nálezových míst veřejných nápisů a jejich vzdálenost od městských center (do 20 km, do 40 km od daného centra).



Obrázek 3.34 Rozmístění nálezových míst datovaných milníků a jejich vzdálenost od městských center (do 20 km od daného centra).



Obrázek 3.35 Rozmístění nálezových míst soukromých nápisů a jejich vzdálenost od městských center (do 20 km, do 40 km od daného centra).



Obrázek 3.36 Rozmístění nálezových míst funerálních nápisů a jejich vzdálenost od městských center (do 20 km od daného městského centra a do 10 km od římských cest - silnic).



Obrázek 3.37 Hustota výskytu nálezových míst funerálních nápisů a jejich relativní poloha vůči městským centrům a římským cestám - silnicím.



Obrázek 3.38 Rozmístění nálezových míst dedikačních nápisů v závislosti na jejich nadmořské výšce (DEM - digital elevation model).